

シリンドー型ゲートによる表面取水の現地観測

Field Observation on Intaking the Surface Water by Cylinder Gate

○東洋大学工学部 正 萩原国宏
四国電力株式会社 鎌田文明
同 上 梶原昭夫
株式会社栗本鉄工所 中村義郎

はじめに

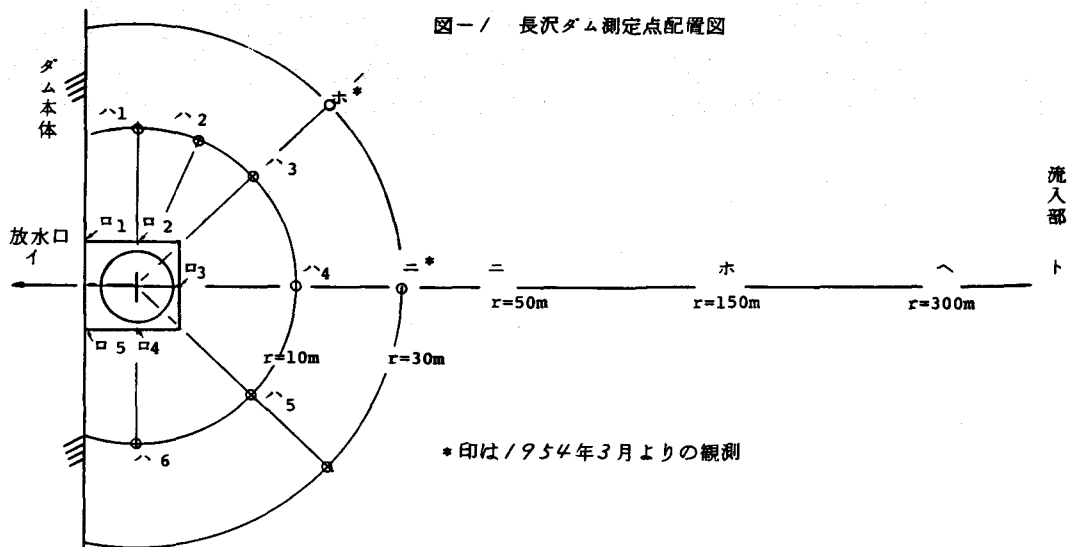
私どもは昭和53年9月より昭和55年4月までの3年間にわたり、シリンドーゲートによる表面取水と選択取水設備の機能について、四国電力長沢ダムにおいて現地観測をして来た。現地における測定は現地の測定になれている四電エンジニアリングの小林氏をキャプテンとするグループに依頼した。この3年間の長期間中に各種の水位、躍層の条件を設定して、それに相当する時期に観測を実施することにし、表一に示すような5回に実施した。

5回目の観測は中間取水として実施し、他のものは表面取水として実施したものである。測定項目は水温（流入水、流出水、池内の水温分布）、濁度（流入水、流出水、池内の濁度分布）、風向、気温、天候、取水量、水位等が主なものである。

シリンドーゲートをダムに近接して設置し、表面取水、選択取水をすることには、従来流れが偏流する等の見界があり、ほとんど作られていなかった。この点につき東洋大学で模型実験をし、この様なことのないことを確認した後、長沢ダムに設置することになったわけである。

今回の観測はこの偏流が現地で発生するか否かをも含めて、どのような流れになっているかを観測するため会社、現地管理者の協力を得て実施されたものである。

1) 観測地点

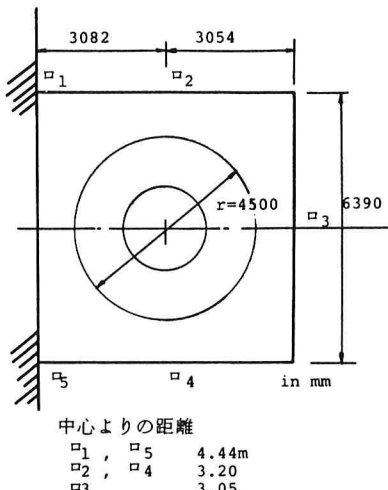


流入地点と流出地点（発電所の放水口附近）をのぞくと図一ノに示すようなスクリーン附近の測点口、取水盤中心より 10 m 離れたハの測点、さらに 30 m はなれたホ、ニの測点と 300 m 地点のへである。ホとニは当初 50 m 、 150 m の地点で測定していたが、 300 m 地点の結果と変らなかつたので、 30 m 地点に移動した。

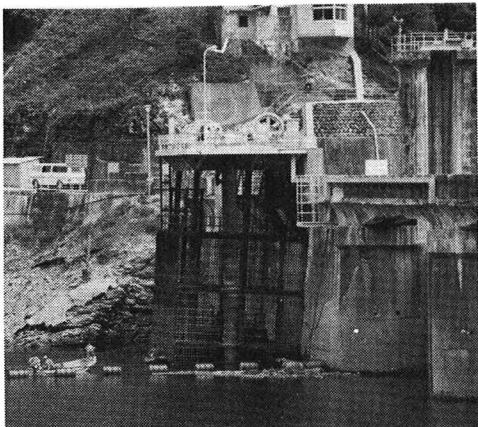
これらの池内の測点では流速、温度と濁度の分布を測定している。鉛直方向の測点間隔は水面から 50 cm で実施した。

2) 現地観測の概要

まづ現地観測の結果の概要をとりまとめておこう。主要項目についてまとめたのが表一ノである。このときの池内の温度分布および濁度分布の状況を示したのが図一ノである。これは測点への点で代表させている。これらのいづれの場合においても表面にわづかな躍層があり、さらに夏期においては取水口附近により明確な躍層が存在する。これは常時の取水が下部取水口により行なはれていたためである。



図一ノ



写真一ノ 取水塔



写真二ノ 測定状況

上の2枚の写真はシリンドーゲートタイプの取水塔と現地観測の状況を示すものである。

なお54年9月4日の測定時には取水流量が $9.5\text{ m}^3/\text{sec}$ から $6.5\text{ m}^3/\text{sec}$ に途中で変わっている。これは発電の都合で変わったものである。また55年4月8日の測定は中間取水のケースとして実施しているが、途中で 6 m 水深から 4 m 水深へ変えて行なった。これは特に躍層附近より取水をしてみようとしたものである。

次に図一ノについてであるが、右側の曲線が温度分布であり左側のが濁度分布である。濁度は54年9月4日の場合以外はかなり小さい値である。なお縦軸は標高で示している。

3) 取水塔まわりの流速について

取水塔まわりの測点口の系列およびハの系列（図一ノ参照）で流速が測定されている。この他の測点で

日 時	53,9,13	54,3,27	54,6,23	54,9,14	55,4,8
取水量 m^3/sec	9.5	9.5	9.5	6.5	9.5
取水深 m	1.1	1.0	1.0	2.0	6.0, 4.0
放流水 温度 $^{\circ}C$	20.8	8.2	17.8	18.0	7.5
	濁度 ppm	2.0	3.5	2.5	7.0
流入水 温度 $^{\circ}C$	19.0	7.3	15.1	15.0	5.7
	濁度 ppm	1.0	1.0	1.0	1.0
気 温 $^{\circ}C$	22.0	10.0	21.0	20.5	13.0
表層水温 $^{\circ}C$	22.6	8.6	21.7	21.3	12.1
躍層下水温 $^{\circ}C$	17.9	7.2	16.2	17.8	9.5
温度差 $^{\circ}C$	4.7	1.4	5.5	3.5	2.6
躍層深 m	7.16	6.15	9.5	4.17	4.0
取水方法	表面	表面	表面	表面	中間
開 度 m	1.1	1.0	1.0	2.0	2.0
水 位 m	27.16	21.15	18.02	30.17	26.20

表 - 2

は、このタイプの流速

では観測することがで
きなかった。

これらの代表的な結
果を温度分布のグラフ
と合わせて示したのが
図-4である。

図からもわかるごと
く、スクリーンの近く
の測点では表面の流速
が $20 \sim 30 \text{ cm/sec}$
であり、ハの測点系列
($r = 10 \text{ m}$) では
 $4 \sim 5 \text{ cm/sec}$ 程度で
ある。その外側の $r =$
 $30.50 / 50.300$
m の地点では先きに述
べたごとく、流速は観
測されていない。

これらのグラフより
傾向をまとめると次の
ごとくなる。

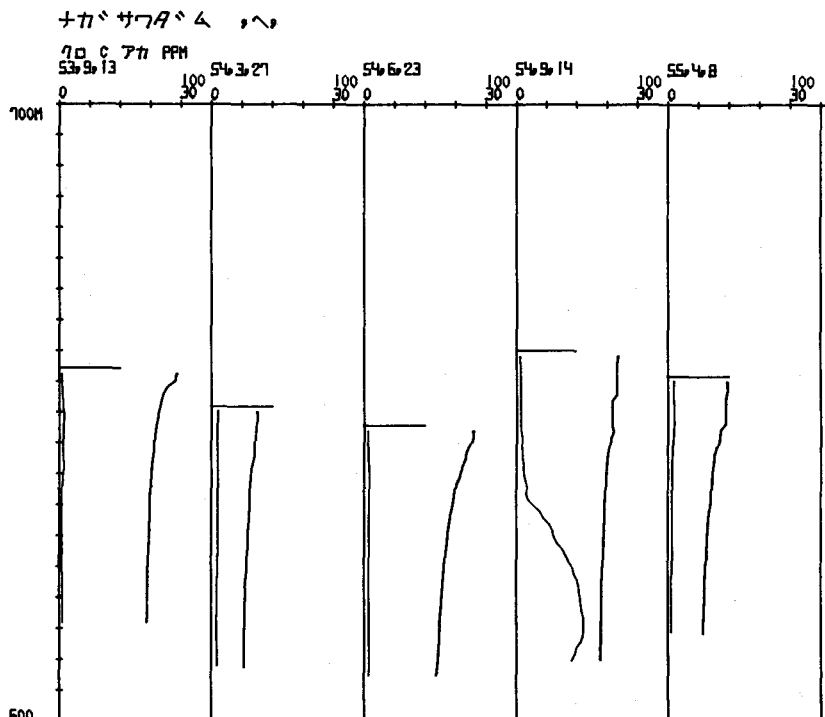
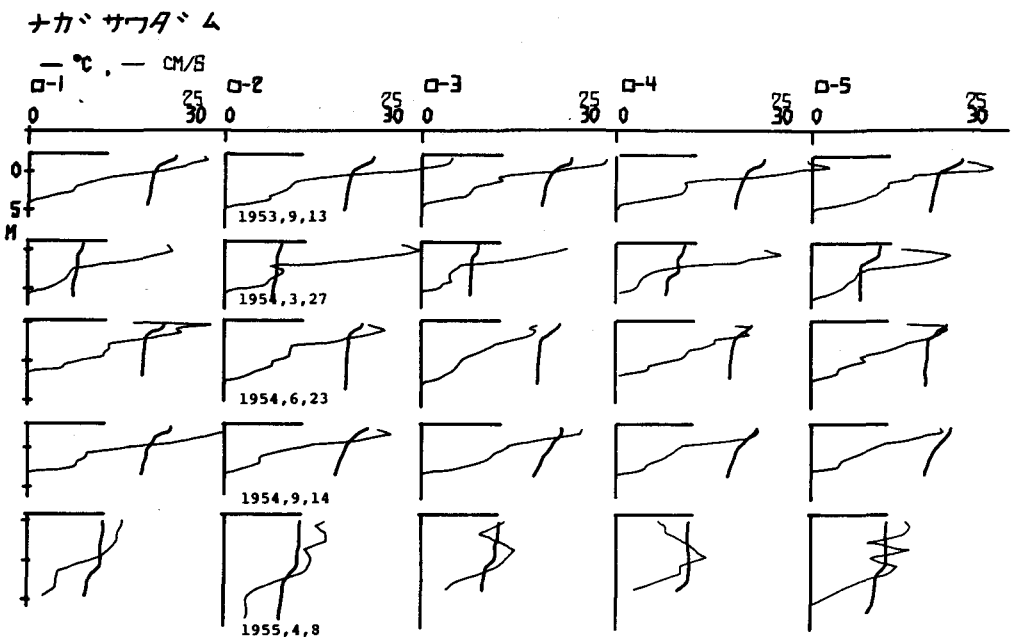


図 - 3

イ) 各場合において流速分布の形状がローノからローハまでのそれぞれの間で、またハーノからハーハの間で非常に良く似た形状をしており、いづれの場合も表面が速くなっている。

ロ) 特にロの測点では、いづれの場合でも表層の流速がいちぢるしく速くなっている。

ハ) ハの測点でも表層が速くなっているが、一様な分布になっている場合が多い。



図一四

ニ) ハー-6の点は他の点に比べて流速が小さくなっている。これはこの測点が地山に接近しているためと考えられる。

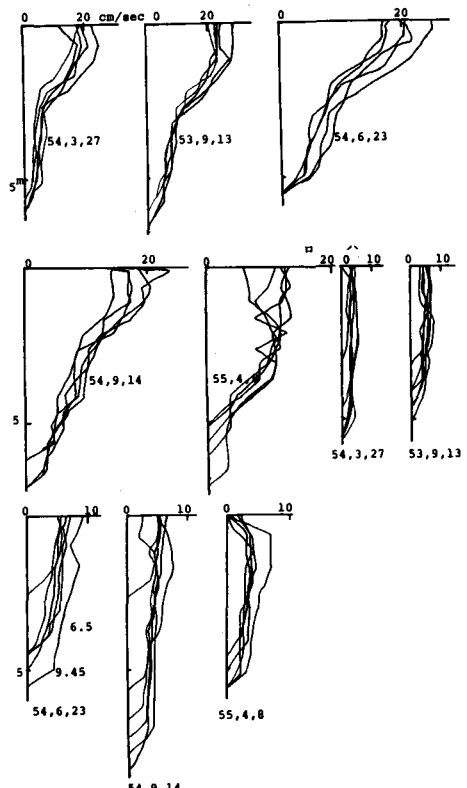
ホ) ロの測点系列をみると表層にある3~5度の表層躍層の影響が効いており、この躍層が明確な場合ほど表層の流速が速くなっている。

ヘ) ロ、ハのいづれでも5~8mの水深までは測定ができており、それ以下では速度が落ちて測定できない。

次にこの流速分布についての若干の考察をしてみることにしよう。まづ測点毎に相違があるか否かを見るために、同一のグラフに各測点の流速を書いてみた。結果は図一五である。

これらのグラフをみると判らごとく、ロノ~ロ5の間に余り顕著な相異はないと考えられる。特に注目すべきはロ-1,5とロ-2,3,4では取水盆からの距離が異なるので、流速に相異があつても良いと考えられるが、すなわち取水盆に近いロ-2,3,4がロ-1,5より速いと推定されるが、そのような傾向は余り顕著でない。

これはスクリーンの影響ではないかと考えている。この様に各点での流速に変化がないので各測点系列での平均流速分布を求めてみたのが



図一五

図-6である。この図中には取水の位置と躍層の位置が書き入れてある。これから判ることは

イ) 跳層より上では流速が速くなっている。この傾向は跳層が懸著に表はれる程、大きくなっている。

ロ) ハの点での流速は、いずれの場合でも $4 \sim 5 \text{ cm/sec}$ の程度である。

ハ) 9.5 m/sec の場合と 6.5 m/sec の取水における流速分布の相異は、表面流速には懸著に表はれず、下層部分の流速が小さくなっている。

二) 中間取水をした $55.4.8$ のケースでも表層が速くなっている点は注目に値する。

この点については、どのように解釈すべきか難しいが、

今回の中間取水が表層より $4 \sim 6 \text{ m}$ と比較的浅く、また躍層も 4 m 附近と深い事等により、流れが表面取水の場合と相異しなかったと考えている。これにはスクリーンによる整流作用が効いていると考えている。次に若干の計算をしてみる。

ロの系列の測点ではスクリーンによって流れが支配されている様子なので、表面流速を 20 cm/sec として、スクリーン長 ($L = 3.082 \times 2 + 3.054 \times 2 + 6.390 = 18.662 \text{ m}$) より流入することにして、流入水深を計算してみると、 9.5 m/sec , 6.5 m/sec の取水をしたときの取水深はそれぞれ 2.54 m , 1.74 m となる。また同様に $r = 10 \text{ m}$ でのハの測定点において、平均流速 5 cm/sec として水深を求めてみると 6.05 m , 4.4 m となっており、これは図-6のグラフでのハの結果の流速分布と良い相関を示していることが判った。

4) 放流水温についての考察

放流水の温度が測定されているので、これが池内の温度分布のどの深さに相当するかを求めて整理してみた。結果は次のとくなっている。

日 時	53.9.13	54.3.27	54.6.23	54.9.14	55.4.8
放流水温相当水深	1.0	1.0~3.2	5.0	1.7~27	1.21~13.5 m

表 - 2

これとノ次躍層深(表-1)をくらべると判るごとく、表面取水の場合には躍層内より取水していることが判る。これに比べて中間取水の場合には、かなり深い所より取水をしていることが判る。

5) 表面取水についての若干の理論的考察

最初に書いたように本研究のスタートは、シリンドーゲートをダムに接近して設置すると、流れに偏流が生じて均一な取水が不可能であるとの通説からである。まづこの点を確認するための模型実験をし、一

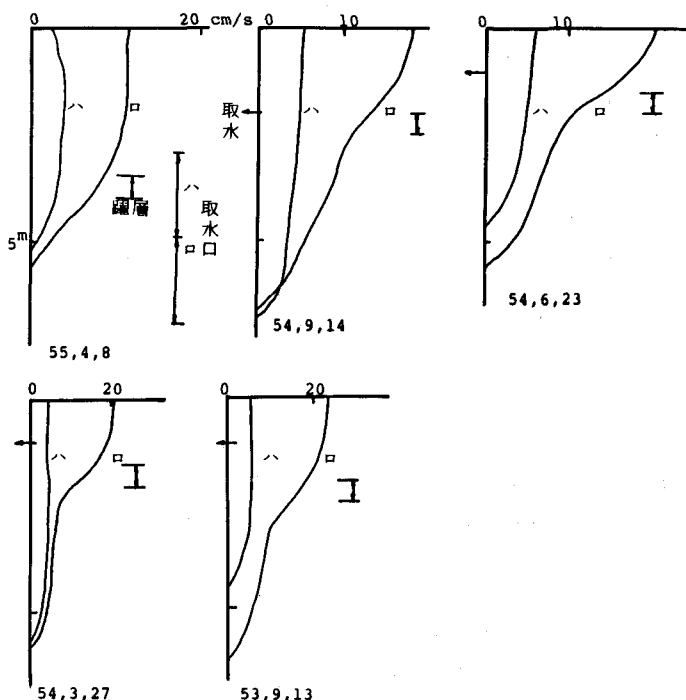


図 - 6

様な流れになっていることを確認し、さらに長沢ダムに設置されたゲートについて確認するため今回の観測をし、編流のないことを確かめられた。

そこで今回の経験をもとに若干の理論的な解析をしてみた。表面取水をしている場合には、躍層が存在することにより二層流にかなり近い流れをしていることが判り、下層は停止しているとして2次元平面流として扱いをし、下層流体の界面の上昇は上層の流速による速度ヘッドを補償する形でなされるものと考えた。

a) シリンダーゲート取水盆の周辺部を流れの支配点とするポテンシャル

取水盆の先端部をラインシンクとする複素ポテンシャルは

$$W = \int_0^{2\pi} KR \log(z-a-Re^{i\theta}) d\theta + \int_0^{2\pi} KR \log(z+a-Re^{i\theta}) d\theta \quad (1)$$

$$\int_0^{2\pi} KR d\theta = 2\pi KR = Q \quad (2)$$

ここに Q は取水量とする。任意点の流速は、この式を z で微分することによって求められるが、界面の上昇を考えると、速度の二乗和が必要である。したがって

$$q^2 = \left(\frac{dw}{dz} \right) \cdot \left(\frac{\bar{w}}{dz} \right) \quad (3)$$

で与えられる。この速度水頭を圧力水頭で補償すると考えると、界面の上昇量 η は次の式で書ける。

$$\frac{\eta}{H} = \frac{Fr^2}{2} F(\bar{r}, \bar{a}, \theta), \quad Fr^2 = \frac{u_0^2}{gH \cdot \Delta\rho / \rho_0} \quad (4)$$

はシリンドーゲート周辺部での流速である。 $F(\quad)$ は (3) 式で決まる関数で次の様になる。

$$\begin{aligned} F(\bar{r}, \bar{a}, \theta) &= \frac{1}{\bar{r}^2} [[\log(\frac{R_1}{R_2})]^2 + (\phi_1 - \phi_2)^2] + \frac{1}{\bar{a}^2 + 2\bar{a}\bar{r} \cos\theta + \bar{r}^2} [[\log(\frac{R_1}{R_3})]^2 + \\ &(\phi_3 - \phi_4)^2] + \frac{2}{\bar{r}} \frac{1}{\bar{r}^2 + 2\bar{r}\bar{a} \cos\theta + \bar{a}^2} [(\bar{r} + \bar{a} \cos\theta) [\log(\frac{R_1}{R_2}) \cdot \log(\frac{R_3}{R_4}) + \\ &(\phi_1 - \phi_2) \cdot (\phi_3 - \phi_4)] + \bar{a} \sin\theta [(\phi_1 - \phi_2) \cdot \log(\frac{R_3}{R_4}) - (\phi_3 - \phi_4) \cdot \log(\frac{R_1}{R_2})]] \end{aligned} \quad (5)$$

$$\bar{r} = \frac{r}{R}, \quad \bar{a} = \frac{a}{R} \cdot 2$$

$$R_1 = \sqrt{\bar{r}^2 + 1 + 2\bar{r} \cos\theta}, \quad \tan\phi_1 = \frac{\bar{r} \sin\theta}{(\bar{r} \cos\theta + 1)}$$

$$R_2 = \sqrt{(\bar{r} \cos\theta - 1)^2 + \bar{r}^2 \sin^2\theta}, \quad \tan\phi_2 = \frac{\bar{r} \sin\theta}{(\bar{r} \cos\theta - 1)}$$

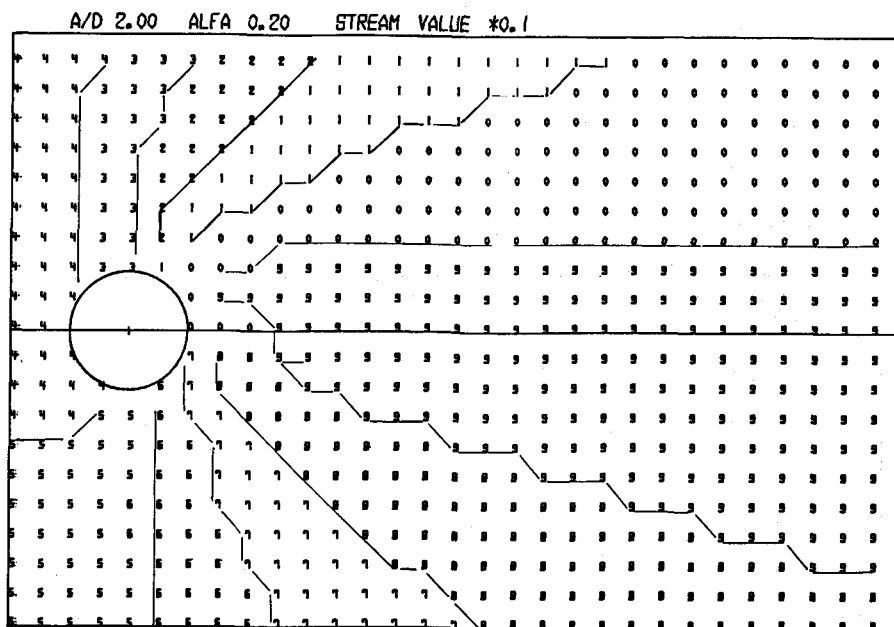
$$R_3 = \sqrt{(1 + \bar{a} + \bar{r} \cos\theta)^2 + \bar{r}^2 \sin^2\theta}, \quad \tan\phi_3 = \frac{\bar{r} \sin\theta}{(1 + \bar{a} + \bar{r} \cos\theta)}$$

$$R_4 = \sqrt{(\bar{a} - 1 + \bar{r} \cos\theta)^2 + \bar{r}^2 \sin^2\theta}, \quad \tan\phi_4 = \frac{\bar{r} \sin\theta}{(\bar{a} - 1 + \bar{r} \cos\theta)}$$

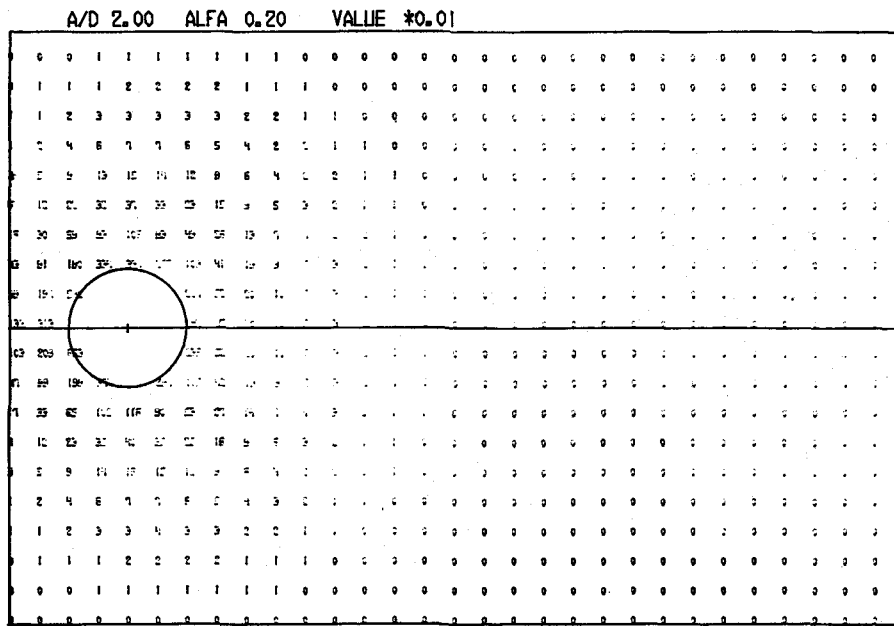
(6)

これらの式をもとにして、流線の値および $F(\quad)$ の値をプロットしたのが次ページの図7,8である。

これを見ると判るごとく取水盆のごく近辺のみが流れの影響を受けていることが判る。



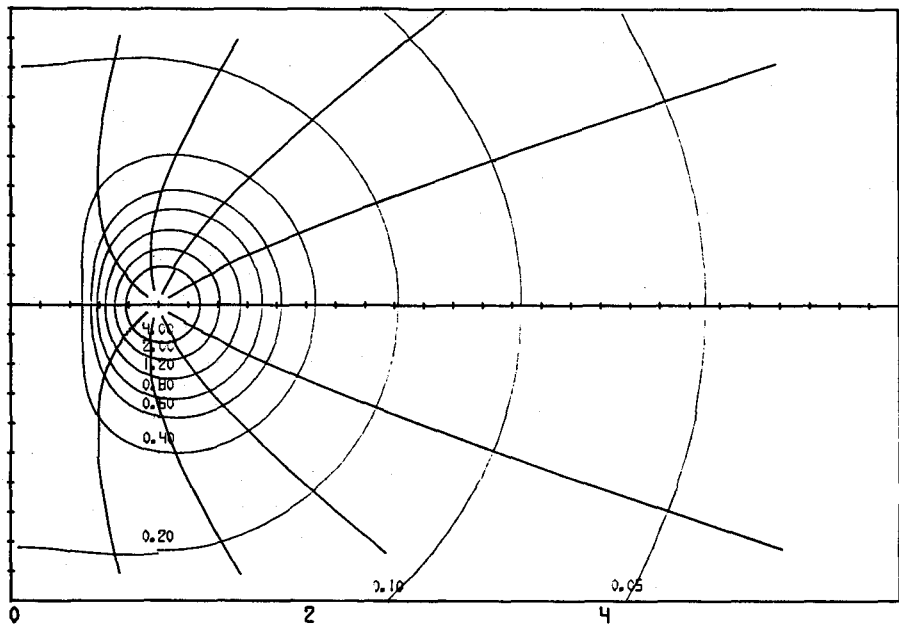
図一七



図一八

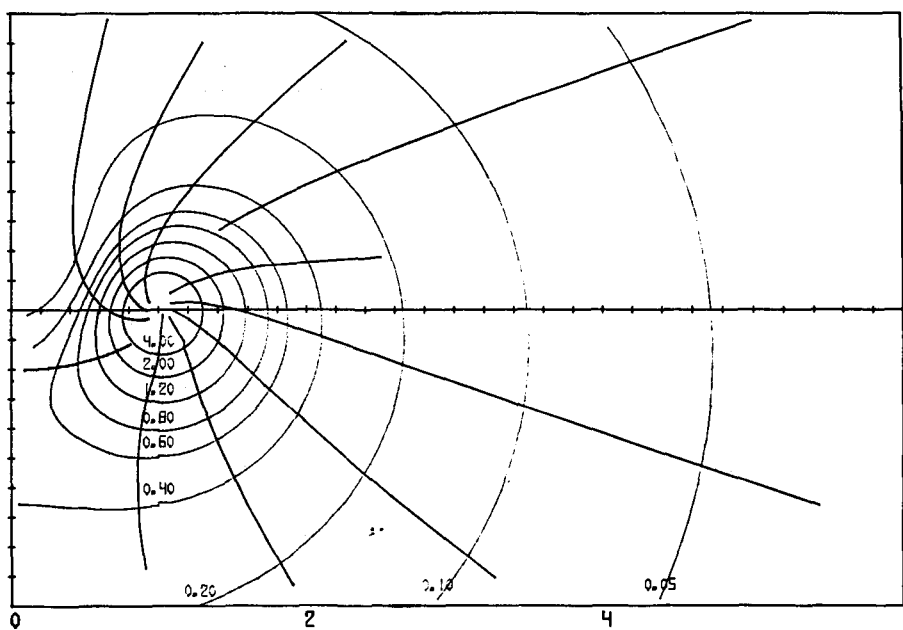
b)回転流の有無による影響について

取水口に流れ込みの流れが回転流をともなう場合には界面の上昇がどの様になるかをポイントシンクの流れとした場合の解を求めて図示したのが図一九／一〇である。これらの図中のALFAは回転流の流速（周速度）と中心に向う流速の比を示している。これらの図を見ると判るごとく、ALFAの値が大きくなるほど界面は若干上昇してきていることが判る。



ALFA 0.0

図 一 9



ALFA 0.4

図 一 0

おわりに

3年間にわたる現地観測よりシリンダーゲートを堤体に近づけて設置しても、均等に周辺より取水することが判った他、躍層のある場合には、余り顯著な躍層でなくても表層を取水していることが判った。またこの種の取水現象にスクリーンの存在が意外と大きく影響していることが新しく判った点である。

なおこの研究には、多くの方々の協力によってなされたもので、計画の段階では坂口外男氏に、現地の測定には四電エンジニアリングの高知支店の小林氏をキャプテンとするチームに、また3回にわたって四国電力本社での報告会に参加して討議していただいた関係者の皆様に、深く感謝するところあります。